

УДК 538.915

## МИКРОСКОПИЧЕСКИЙ ВЫВОД УРАВНЕНИЙ ГИНЗБУРГА—ЛАНДАУ НА ОСНОВЕ ОБОБЩЕННОЙ МОДЕЛИ ХАББАРДА

Р. О. Зайцев

Вычисляются времена релаксации с переворотом  $\tau_s$  и без переворота спина, которые входят в определение коэффициентов теории Гинзбурга—Ландау. Установлена связь температурной зависимости  $1/\tau_s$  с большими наблюдаемыми значениями  $2\Delta_0/T_c$ ,  $\Delta C/C_N$ , а также  $H'_{cr}(T_c)$ .

Отсутствие изотопического эффекта и весьма резкая зависимость температуры сверхпроводящего перехода  $T_c$  от степени нестехиометрии  $\delta$  и  $x$  — основные свойства высокотемпературных сверхпроводников типа  $YBa_2Cu_3O_{7-\delta}$  и  $La_{2-x}Sr_xCuO_4$ . Эти свойства были успешно объяснены в рамках так называемого кинематического механизма [1, 2], для которого амплитуда рассеяния меняет знак сразу на всей поверхности Ферми.

Другие свойства, отличающие высокотемпературные сверхпроводники от обычных, — большие значения

$$\frac{2\Delta_0}{T_c} > \frac{2\pi}{\gamma} \approx 3.53, \quad \frac{\Delta C}{C_N} > \frac{12}{7\zeta(3)} \approx 1.426; \quad \left. \frac{\partial H_{c2}}{\partial T} \right|_{T=T_c} = H'_{c2}(T_c), \quad (1)$$

по сравнению с теориями БКШ и ГЛАГ удается объяснить наличием сильного рассеяния с переворотом спина.

В работе [3] показано, что это явление сильно уменьшает, но не зануляет температуру сверхпроводящего перехода, поскольку соответствующая скорость релаксации  $1/\tau_s$  обращается в нуль в пределе  $T \ll \Delta_0$ . В работе [4] было показано, что в модели Хаббарда с бесконечным отталкиванием все коэффициенты теории Гинзбурга—Ландау начинают зависеть от безразмерного параметра  $\zeta = 1/2\pi T\tau_s$ , отчего и возникают неуниверсальные изменения величин (1).

В настоящей работе кинематический механизм изучается на основе модельного гамльтониана Эмери

$$\hat{H} = -t \sum_{r, r', \lambda, \sigma} (\hat{p}_{r\sigma}^+(\lambda) \hat{d}_{r'\sigma} + \text{h. c.}) + \varepsilon_p \sum_{r, \sigma, \lambda} \hat{p}_{r\sigma}^+(\lambda) \hat{p}_{r\sigma}(\lambda) + \xi \sum_{r, \sigma} \hat{d}_{r\sigma}^+ \hat{d}_{r\sigma}, \quad (2)$$

где  $t$  — интеграл перескока между ближайшими понами кислорода и меди;  $\hat{p}_{r\sigma}^+(\lambda)$ ,  $\hat{d}_{r\sigma}^+$  — операторы рождения дырочных  $p$ - и  $d$ -возбуждений с одночастичной энергией  $\varepsilon_p$  и  $\xi$ , которые отсчитаны от уровня Ферми.

Несмотря на достаточно сложный характер промежуточных вычислений, дело сводится, во-первых, к нахождению спектра одночастичных возбуждений  $\xi_p$ , через который находим плотность электронных состояний  $\bar{\rho}$  и тензор обратной электронной массы, вычисленный на уровне Ферми

$$\bar{\rho} = \sum_p \delta(\xi_p), \quad \frac{1}{m_{\alpha\beta}} = \sum_p \delta(\xi_p) \frac{\partial \xi}{\partial p_\alpha} \frac{\partial \xi}{\partial p_\beta} \frac{D}{2\mu\bar{\rho}}. \quad (3)$$

Во-вторых, необходимо вычислить времена релаксации с переворотом  $\tau_s$  и без переворота спина  $\tau$ , через которые выражаются все три коэффициента теории Гинзбурга—Ландау ( $\alpha$ ,  $b$ ,  $C$ ).

Было показано [4], что эти последние соотношения — те же, что и в теории сверхпроводников с парамагнитными примесями, и отличаются от них только температурной зависимостью  $\tau$  и  $\tau_s$ . В металлической фазе, где магнитная проницаемость почти не зависит от температуры, обратное время релаксации  $1/\tau_s$  пропорционально первой степени  $T$ , — фактически эта связь есть следствие ФДТ. При заполнении  $p$ - и  $d$ -подзон восприимчивость приобретает сильную температурную зависимость, что приводит к резкому уменьшению  $\tau_s$  и подавлению сверхпроводимости (в пределе  $x \rightarrow 0$  и  $\delta \rightarrow 1/2$ ).

В заключительном разделе будут рассмотрены количественные соотношения, которые следуют из теории Гинзбурга—Ландау в предположении о линейной температурной зависимости скорости релаксации  $1/\tau_s$ .

## 1. Общие соотношения

Для нахождения нормальной и аномальной собственно-энергетической части запишем общее определение обратной функции Грина

$$G^{-1} = [G^{(0)}]^{-1} - \Sigma_{\omega}(\mathbf{p}),$$

где

$$[G_{\omega}^{(0)}(\mathbf{p})]^{-1} = \begin{matrix} (0, +) & (-, 2) & (0, p_k) \\ (0, +) & \begin{pmatrix} \Omega_0 & 0 & -\tau_p^{0k} \\ 0 & \Omega_2 & -\tau_p^{2k} \\ -\tau_p^{\lambda 0} & -\tau_p^{\lambda 2} & \Omega_p \delta_{\lambda k} \end{pmatrix} \\ (0, p_{\lambda}) \end{matrix}.$$

Собственно-энергетическая часть выражается через точную функцию Грина с помощью уравнений однопетлевого приближения

$$\Sigma_{\omega}^{\alpha\beta}(\mathbf{p}) = T \sum_{\omega', \mathbf{p}', \gamma, \beta'} K_{\omega-\omega'}^{\alpha\beta'}(\mathbf{p}-\mathbf{p}') G_{\omega'}^{\gamma\beta'}(\mathbf{p}') t_{\mathbf{p}'}^{\alpha\gamma} t_{\mathbf{p}}^{\beta'\beta}. \quad (4)$$

Аномальные собственно-энергетические части  $\Sigma^{\alpha\bar{\beta}}$  и  $\Sigma^{\bar{\alpha}\beta}$  имеют индексы  $\bar{\alpha}$  и  $\bar{\beta}$ , связанные с  $\alpha$  и  $\beta$  операцией инверсии времени  $(0, \sigma) \rightarrow (\bar{\sigma}, 0)$ ;  $(\bar{\sigma}, 2) \rightarrow (2, \sigma)$ ;  $(0, p_{\sigma}) \rightarrow (p_{\bar{\sigma}}, 0)$

$$\Sigma_{\omega}^{\alpha\bar{\beta}}(\mathbf{p}) = \Sigma_{\omega}^{\bar{\alpha}\beta}(\mathbf{p}) = T \sum_{\omega', \mathbf{p}', \gamma, \beta'} K_{\omega-\omega'}^{\alpha\bar{\beta}}(\mathbf{p}-\mathbf{p}') G_{\omega'}^{\gamma\bar{\beta}'}(\mathbf{p}') t_{\mathbf{p}'}^{\alpha\gamma} t_{\mathbf{p}}^{\bar{\beta}'\beta}. \quad (5)$$

Уравнения для  $\Sigma^{\alpha\bar{\beta}}$  и  $\Sigma^{\bar{\alpha}\beta}$  отличаются от (4), (5) формальной заменой  $\bar{\alpha} \Leftrightarrow \alpha$ ,  $\bar{\beta} \Leftrightarrow \beta$  и т. д.

Корреляторы  $K^{\alpha\bar{\beta}}$  и  $K^{\bar{\alpha}\beta}$  запишем в узельном представлении

$$K^{\alpha\bar{\beta}}(\mathbf{r}, \mathbf{t}; \mathbf{r}', \mathbf{t}') = \langle \delta \{ \hat{X}_{\mathbf{r}}^{\alpha} \hat{X}_{\mathbf{r}}^{-\alpha} \}_t \delta \{ \hat{X}_{\mathbf{r}'}^{\bar{\beta}} \hat{X}_{\mathbf{r}'}^{-\bar{\beta}} \}_{t'} \rangle,$$

$$K^{\alpha\beta}(\mathbf{q}) = \sum_{\mathbf{r}} \int_0^{1/T} e^{i\omega t - i\mathbf{q}\mathbf{r}} K^{\alpha\beta}(\mathbf{r}, \mathbf{t}; 0, 0) dt. \quad (6)$$

Уравнения (4)—(6) определяют собственно-энергетические части, обусловленные флуктуациями заряда и диагональными компонентами спина. Наряду с этими флуктуациями имеется также вклад от поперечных спиновых компонент, куда входят функции Грина с противоположными проекциями спина  $G_{\omega}^{\bar{\alpha}\beta}(\mathbf{p})$ . При этом в уравнениях (5) вместо  $K^{\alpha\bar{\beta}}$  появляются корреляторы

$$K^{\bar{\alpha}\beta}(\mathbf{r}, \mathbf{t}; \mathbf{r}', \mathbf{t}') = \langle \delta \{ \hat{X}_{\mathbf{r}}^{\alpha}, \hat{X}_{\mathbf{r}}^{\bar{\alpha}} \}_t \delta \{ \hat{X}_{\mathbf{r}'}^{\beta}, \hat{X}_{\mathbf{r}'}^{\bar{\beta}} \}_{t'} \rangle. \quad (7)$$

Не зависящие от импульсов аномальные собственно-энергетические части определяются амплитудами кинематического взаимодействия  $g_{\alpha\beta\lambda}$  и в однопетлевом приближении определяются следующим образом:

$$\Delta_{\alpha\beta} = T \sum_{\omega, p} g_{\alpha\beta\lambda} t_p^{-\lambda, \lambda'} G_{\omega}^{\lambda', -\nu} (p'). \quad (8)$$

В изучаемой модели  $t_p^{\beta}$  отлична от нуля только для переходов между различными ионами, так что собственно-энергетические части (4), (5) являются недиагональными как по главным, так и по сопряженным индексам.

Предположим, что энергия Хаббарда велика, а заполнение происходит за счет верхней подзоны, тогда получаем следующее общее определение обратной функции Грина:

$$G_{\omega}^{-1} (p) = \frac{1}{2} \begin{pmatrix} 2 & \nu & \bar{2} & \bar{\nu} \\ \Omega_2; & -\tau_p^{2\nu} - \Sigma_{\omega}^{2\nu} (p); & \Delta_1; & -\bar{\Sigma}_{\omega}^{2\nu} (p) \\ \lambda \left( -\tau_p^{\lambda 2} - \Sigma_{\omega}^{\lambda 2} (p); & \delta_{\lambda\nu} \Omega_p; & -\bar{\Sigma}_{\omega}^{\lambda 2} (p); & \Delta_p \delta_{\lambda\nu} \right. \\ \Delta_2; & -\bar{\Sigma}_{\omega}^{2\nu} (p); & \bar{\Omega}_2; & \left. -\tau_p^{\bar{2}\nu} - \Sigma_{\omega}^{\bar{2}\nu} (p) \right) \\ \bar{\lambda} \left( -\bar{\Sigma}_{\omega}^{\lambda 2} (p); & \Delta_p \delta_{\lambda\nu}; & -\tau_p^{\bar{\lambda} 2} - \Sigma_{\omega}^{\bar{\lambda} 2} (p); & \bar{\Omega}_p \delta_{\bar{\lambda}\nu} \right). \end{pmatrix} \quad (9)$$

Температурная зависимость собственно-энергетических частей определяется через корреляторы (6), (7), которые в статическом приближении пропорциональны среднеквадратичным флуктуациям плотности  $\delta \hat{n}_r (t)$  и спина  $\delta \hat{S}_r (t)$ .

В статическом приближении имеем

$$\Sigma_{\omega}^{2\lambda} (p) = \frac{K_{\omega}^{(2)} (p)}{f_2^2} \tau_p^{2\lambda}, \quad \bar{\Sigma}_{\omega}^{2\lambda} (p) = \frac{K_{\omega}^{(1)} (p)}{D f_p^2} \tau_p^{\lambda 2}, \quad (10)$$

$$\bar{\Sigma}_{\omega}^{2\lambda} (p) = \frac{R_{\omega}^{(2)} (p)}{f_2^2} \tau_p^{2\lambda}, \quad \bar{\Sigma}_{\omega}^{\lambda 2} (p) = \frac{R_{\omega}^{(1)} (p)}{D f_p^2} \tau_p^{\lambda 2}. \quad (11)$$

Уравнения для неизвестных функций  $K$  и  $R$  запишем через корреляционные функции флуктуаций плотности и спина

$$K^{(2)} (p) = T \sum_{p', \lambda'} \chi_d^{(+)} (p - p') \tau_{p'}^{2\lambda'} G_{\omega}^{\lambda', 2} (p'),$$

$$K^{(1)} (p) = T \sum_{p', \lambda'} \chi_p^{(+)} (p - p') \tau_{p'}^{\lambda', 2} G_{\omega}^{2\lambda'} (p'), \quad (12)$$

$$R^{(2)} (p) = T \sum_{p', \lambda'} \chi_d^{(-)} (p - p') \tau_{p'}^{2\lambda'} G_{\omega}^{\lambda', 2} (p'),$$

$$R^{(1)} (p) = T \sum_{p', \lambda'} \chi_p^{(-)} (p - p') \tau_{p'}^{\lambda', 2} G_{\omega}^{2\lambda'} (p'), \quad (13)$$

$$f_2 \Delta_2 = 2T \sum_{\omega, p, \lambda} \tau_p^{2\lambda} G_{\omega}^{2\lambda} (p), \quad \Delta_{\lambda} = \frac{2T}{D f_p} \sum_{\omega, p, \lambda} \tau_p^{\lambda 2} G_{\omega}^{2\lambda} (p). \quad (14)$$

Корреляционные функции  $\chi_{\lambda}^{\pm} (q)$  определяются своим узельным представлением

$$\chi_{\lambda}^{\pm} (q) = \sum_r \int_0^{1/T} e^{iqr} \left\{ \pm \frac{1}{4} \langle \delta \hat{n}_r^{(\lambda)} (t) \delta \hat{n}_0^{(\lambda)} (0) \rangle + \langle \delta \hat{S}_r^{(\lambda)} (t) \delta \hat{S}_0^{(\lambda)} (0) \rangle \right\} dt, \quad (15)$$

$$f_p = 1 - \frac{3}{4} n_p, \quad f_2 = \frac{n_d}{2}, \quad D - \text{размерность,}$$

$$\tau_p^{2\lambda} = f_2 (1 - e^{-ip_{\lambda}}), \quad \tau_p^{\lambda 2} = f_p (1 - e^{-ip_{\lambda}}).$$

## 2. Сверхпроводимость в слабом магнитном поле

Для нахождения плотности электрического тока в линейном приближении по статическому векторному потенциалу  $A_\alpha$  сразу рассмотрим мейсснеровскую часть, которая формируется только из аномальных функций Грина.

Доказательство взаимного сокращения слагаемых нормальной части вполне аналогично тому, как это сделано в модели Хаббарда [4]

$$j_\alpha = -T \sum_{\omega, \mathbf{p}} Q_\omega^{\alpha\beta}(\mathbf{p}) A_\beta = -Q_{\alpha\beta} A_\beta,$$

$$Q_\omega^{\alpha\beta}(\mathbf{p}) = 2e^2 \left[ \frac{\partial t_{\mathbf{p}}^{2\lambda}}{\partial p_\alpha} \check{D}_\omega^{\lambda\bar{2}}(\mathbf{p}) \frac{\partial t_{\mathbf{p}}^{2\bar{v}}}{\partial p_\beta} \check{D}_\omega^{\bar{2}2}(\mathbf{p}) + \frac{\partial t_{\mathbf{p}}^{2\lambda}}{\partial p_\alpha} \check{D}_\omega^{\lambda\lambda}(\mathbf{p}) \frac{\partial t_{\mathbf{p}}^{\lambda\bar{2}}}{\partial p_\beta} \check{D}_\omega^{\bar{2}2}(\mathbf{p}) + \frac{\partial t_{\mathbf{p}}^{\lambda\bar{2}}}{\partial p_\alpha} \check{D}_\omega^{\bar{2}\lambda}(\mathbf{p}) \frac{\partial t_{\mathbf{p}}^{\lambda\bar{2}}}{\partial p_\beta} \check{D}_\omega^{\bar{2}\lambda}(\mathbf{p}) + \frac{\partial t_{\mathbf{p}}^{\lambda\bar{2}}}{\partial p_\alpha} \check{D}_\omega^{\bar{2}\bar{2}}(\mathbf{p}) \frac{\partial t_{\mathbf{p}}^{\bar{2}\lambda}}{\partial p_\beta} \check{D}_\omega^{\lambda\lambda}(\mathbf{p}) \right]. \quad (16)$$

Здесь  $\check{D}_\omega^{\alpha\beta}(\mathbf{p})$  — полная аномальная функция Грина, отличающаяся от виртуальной функции Грина  $\check{G}_\omega^{\alpha\beta}(\mathbf{p})$  матрицей концевых множителей  $D_\omega^{\alpha\beta}(\mathbf{p}) = D_\omega^{\alpha\alpha'}(\mathbf{p}) K_\omega^{\alpha'\beta}$ , где в нашем приближении

$$K_\omega^{\alpha\beta} = -\frac{\delta}{\delta t_{\mathbf{p}}^{\mu\beta}} [G_\omega^{-1}(\mathbf{p})]^{\alpha\mu}. \quad (17)$$

Непосредственное вычисление производных (17) по заданной обратной функции (9) позволяет получить общее выражение для плотности сверхпроводящего тока. В предельном случае  $T=0$ , когда отсутствуют эффекты релаксации,  $\check{\Sigma}_\omega(\mathbf{p})=0$ , выражение (16) приводится к известному общему виду

$$Q_{\alpha\beta} = 4e^2 \mu \bar{p} / D m_{\alpha\beta}, \quad (18)$$

где тензор обратной массы определен в (3).

Вблизи точки перехода необходимо разложить  $\check{D}$ -функцию по степеням  $\Delta_\lambda$  и  $\check{\Sigma}$ , после чего получим соотношения, аналогичные теории сверхпроводников с парамагнитными примесями [5], но с временами релаксации, зависящими от температуры

$$j_\alpha = -\frac{2e^2}{m_{\alpha\beta}} |\psi|^2 A_\beta, \quad \text{где } |\psi|^2 = C |\Delta|^2,$$

$$\Delta = (\Delta_{\mathbf{p}} \xi_2 - \Delta_{2\bar{\mathbf{p}}}) / 2\mu, \quad \xi_2 = \xi + U,$$

$$C = \frac{\mu \bar{p}}{D (2\pi T_e)^2} \frac{\partial}{\partial \zeta} \left[ \frac{\psi \left( \zeta + \frac{1}{2} \right) - \psi \left( \frac{1}{2} + \frac{1}{4\pi T_e \tau} \right)}{\left( \zeta - 1/4\pi T_e \tau \right)} \right]. \quad (19)$$

Времена релаксации определены при  $T = T_e$  следующим образом:

$$\frac{1}{2\tau} = \left( \frac{K_2}{f_2^2} + \frac{K_{\mathbf{p}}}{D f_{\mathbf{p}}^2} \right) \pi \left( \frac{\xi_2 \bar{\mathbf{p}}}{2\mu} \right)^2,$$

$$\frac{1}{\tau_s} = \left( \frac{\check{K}_2}{f_2^2} + \frac{\check{K}_{\mathbf{p}}}{D f_{\mathbf{p}}^2} \right) \pi \left( \frac{\xi_2 \bar{\mathbf{p}}}{2\mu} \right)^2. \quad (20)$$

Здесь

$$K_{\mathbf{n}} = T \sum_{\mathbf{p}, \mathbf{p}'} \delta(\xi_{\mathbf{p}}) \delta(\xi_{\mathbf{p}'}) \chi_{\mathbf{n}}^{(+)}(\mathbf{p} - \mathbf{p}') (\bar{p})^{-1},$$

$$\check{K}_{\mathbf{n}} = T \sum_{\mathbf{p}, \mathbf{p}'} \delta(\xi_{\mathbf{p}}) \delta(\xi_{\mathbf{p}'}) \chi_{\mathbf{n}}(\mathbf{p} - \mathbf{p}') (\bar{p})^{-1}. \quad (21)$$

Функции  $\chi_{nq}^{(\pm)}$  определены в (15), а

$$\chi_n(\mathbf{q}) = \sum_{\Gamma} e^{-i\mathbf{q}\Gamma} \int_0^{1/T} e^{i\omega t} \langle \delta \hat{S}_{\Gamma}^{(n)}(t) \delta \hat{S}_0^{(n)}(0) \rangle \quad (22)$$

— статическая магнитная проницаемость при  $\omega \rightarrow 0$ .

В атомном пределе восприимчивость  $\chi \sim 1/T$ , так что обратное время релаксации  $1/\tau_s$  оказывается не зависящим от температуры.

Для модели Хаббарда восприимчивость (22) была вычислена в работе [4]. При этом оказалось, что для металлической области вся температурная зависимость в (22) входит через безразмерную величину  $T/t$ , так что восприимчивость (22) практически от температуры не зависит.

Аналогичная ситуация имеет место и в изучаемой модели для нецелых средних чисел заполнения  $n_p, n_d$ . Сильная температурная зависимость проявляется только на линии  $n_d=1$ ,  $0 \leq n_p \leq 1$  и, в частности, для  $n_p, d=1$ , когда  $n_d \rightarrow 1$  и полностью заполняется нижняя подзона Хаббарда.

Предельному случаю  $\chi \sim 1/T$  точно соответствует теория сверхпроводников с парамагнитной примесью [5]. Если же  $1/\tau_s \sim T$ , тогда в трехмерном случае имеется соответствие с теорией [6] для частного случая сферического закона дисперсии.

Ниже будет рассмотрен наиболее интересный и достаточно общий случай, когда закон дисперсии произволен, однако  $1/\tau_s \sim T$ .

### 3. Уравнения Гинзбурга—Ландау

Для нахождения коэффициентов уравнений Гинзбурга—Ландау необходимо произвести разложение уравнений (10)—(14) по степеням отношения малых аномальных собственно-энергетических частей к температуре сверхпроводящего перехода при заданных значениях корреляторов  $\chi_n^{(\pm)}(\mathbf{q})$ , которые считаются вычисленными при  $T=T_c$ . Можно заметить, что фактически разложение производится по степеням  $\bar{\Delta}/\bar{\omega}$ , где

$$\bar{\omega} = \omega + \frac{1}{2\tau}, \quad \bar{\Delta} = \left[ W_{\omega} + \Omega_2 \Omega_p \left( \frac{\bar{K}_2}{f_2^2} + \frac{\bar{K}_p}{Df_p^2} \right) \right] / 2\mu, \quad (23)$$

$W_{\omega} = \Omega_2 \Delta_p + \Omega_p \Delta_2$ ;  $\bar{K}_\lambda$  — функции (13), усредненные по поверхности Ферми (см. определение (21)).

После введения функции  $\Delta = \lim_{\omega \rightarrow 0} W_{\omega} / 2\mu$  получаем уравнение Гинзбурга—Ландау  $\bar{\alpha}(T - T_c)\Delta + \bar{\delta}\Delta^3 = 0$ , где

$$\bar{\alpha} = 1 + \frac{\partial \zeta}{\partial (\ln T_c)} \psi' \left( \frac{1}{2} + \zeta \right), \quad \zeta = 1/2\pi T_c \tau_s, \\ 3\bar{\delta} = \pi T_c^2 \sum_{\omega} |\omega| (|\omega| + 1/\tau_s)^{-4}. \quad (24)$$

Учитывая связь между функцией  $|\psi|^2$  и  $|\Delta|^2$ , находим коэффициенты в уравнении Гинзбурга—Ландау

$$a = \bar{\alpha} / 2CT_c = \bar{\alpha} \left[ 1 + \frac{\partial \zeta}{\partial (\ln T_c)} \psi' \left( \frac{1}{2} + \zeta \right) \right] / 2CT_c, \\ b = \bar{\delta} \left[ -\psi'' \left( \frac{1}{2} + \zeta \right) - \frac{\zeta}{3} \psi' \left( \frac{1}{2} + \zeta \right) \right] / 32 (\pi CT_c)^2. \quad (25)$$

Если считать, что  $1/\tau_s$  не зависит от температуры, тогда при  $\zeta \gg 1$  получаем теорию Горькова—Элиашберга [7].

Нестационарную часть уравнений получаем разложением линейризованного уравнения по степеням суммарной частоты. Окончательно имеем

$$\beta \delta \psi^* + \alpha (T - T_c) \psi^* - \frac{1}{4m_{\alpha\beta}} \delta_{\alpha} \delta_{\beta} \psi^* + b |\psi|^2 \psi^* = 0.$$

$$\beta = \bar{\rho} \psi' \left( \frac{1}{2} + \zeta \right) / 8\pi C T_c^2; \quad \delta = \frac{\partial}{\partial t} - \frac{2ie}{\hbar} \varphi; \quad \delta_{\alpha} = \nabla_{\alpha} + \frac{2ie}{c} A_{\alpha}. \quad (26)$$

#### 4. Обсуждение результатов

Перенормировка эффективной константы взаимодействия, происходящая от рассеяния с переворотом спина при  $T = T_c$ , существенно уменьшает температуру сверхпроводящего перехода

$$\pi T_c = \gamma \bar{\varepsilon} \exp(-1/\lambda),$$

где

$$\lambda^{-1} = \lambda_0^{-1} + \psi \left( \frac{1}{2} + \zeta \right) - \psi \left( \frac{1}{2} \right), \quad \psi(x) = \Gamma'(x)/\Gamma(x). \quad (27)$$

$\lambda_0$  — эффективная константа взаимодействия, определяющая величину энергетической щели  $\Delta_0$  при  $T \ll T_c$ , когда исчезает рассеяние с переворотом спина

$$\Delta_0 = \bar{\varepsilon} \exp(-1/\lambda_0). \quad (28)$$

Комбинируя (27) и (28), находим

$$2\Delta_0/T_c = 8\pi \exp[\psi(1/2 + \zeta)]. \quad (29)$$

При  $\zeta \gg 1$  зависимость (29) становится линейной  $2\Delta_0/T_c = 8\pi\zeta$ .

Другой величиной, зависящей от  $\zeta$ , но не содержащей длины пробега, является скачок теплоемкости  $\Delta C$ , отнесенный к теплоемкости нормальной фазы  $C_N = 2\pi^2 \bar{\rho} T_c/3$ .

Используя функционал Гинзбурга—Ландау, соответствующий уравнению (26), находим

$$\frac{\Delta C}{C_N} = \frac{3\alpha^2}{2\pi^2 b \bar{\rho}} = 24 \frac{\left[ 1 + \frac{\partial \zeta}{\partial (\ln T_c)} \psi' \left( \frac{1}{2} + \zeta \right) \right]^2}{\left[ -\psi'' \left( \frac{1}{2} + \zeta \right) - \frac{\zeta}{3} \psi''' \left( \frac{1}{2} + \zeta \right) \right]}. \quad (30)$$

При заданной зависимости  $\zeta(T)$  соотношения (29) и (30) определяют параметрическую связь между скачком теплоемкости и величиной  $2\Delta_0/T_c$ , которую можно проверять экспериментально.

Для сверхпроводников с парамагнитной примесью, когда  $\zeta \sim 1/T$ , при  $\zeta \gg 1$  имеем  $\Delta C/C_N = 1/2 \zeta^2 \ll 1$ . Если же предположить, что параметр  $\zeta$ , а следовательно, и магнитная восприимчивость от температуры не зависят, тогда скачок теплоемкости всегда больше своего классического значения  $1.43 C_N$ , а в пределе  $\zeta \gg 1$  вместо (30) имеем квадратичную зависимость  $\Delta C/C_N \approx 72 \zeta^2$ .

Используя выражение (19) для плотности сверхпроводящего тока, а также явный вид коэффициентов  $\alpha$ ,  $b$  и  $C$ , находим тензорные величины, соответствующие радиусу корреляции  $\xi(T)$  и глубине проникновения  $\delta$

$$\xi_{\lambda\gamma}^2 = \hbar^2 / 4m_{\gamma} \lambda \alpha |T - T_c|, \quad \delta_{\lambda\gamma}^2 = b m_{\gamma} \lambda / 8\pi e^2 \alpha |T_c - T|. \quad (31)$$

В пределе «сильной грязи», когда  $1/\tau \gg T_c$ ,

$$C = m \bar{\rho} \tau \psi' (1/2 + \zeta) / \pi D T_c, \quad (32)$$

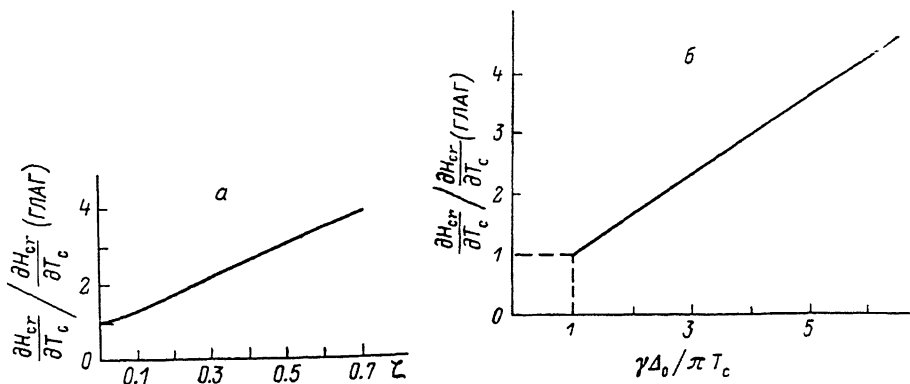
квадрат глубины проникновения пропорционален, а квадрат радиуса корреляции обратно пропорционален тензору удельного сопротивления

$$\rho_{\lambda\gamma} = D m_{\lambda\gamma} / 4\tau m \bar{\rho} e^2. \quad (33)$$

В конечном счете оказывается, что безразмерный тензор  $\kappa_{\alpha\beta} = \delta_{\alpha\beta} \zeta_{\alpha\beta}^{-1}$  не зависит от производной  $\zeta'(T)$ , пропорционален тензору  $\rho_{\alpha\beta}$  и является медленно убывающей функцией параметра  $\zeta$

$$\kappa_{\alpha\beta} = \rho_{\alpha\beta} |e| c \sqrt{\bar{\rho}} \left\{ \left[ \sum_{n=0}^{\infty} \frac{(n+1/2)}{(n+1/2+\zeta)^4 \cdot 4\pi} \right]^{1/2} \left[ \psi' \left( \frac{1}{2} + \zeta \right) \right]^{-1} \right\}. \quad (34)$$

При  $\zeta=0$  коэффициент в фигурных скобках равен  $\sqrt{7\zeta(3)}/\pi^2=0.294$ , при  $\zeta \gg 1$  его значение несколько меньше ( $=1/\sqrt{24}=0.204$ ).



Относительное изменение температурного наклона по сравнению с теорией сверхпроводников II рода в зависимости от безразмерного параметра  $\zeta$  (a) и относительное изменение температурного наклона при  $T \rightarrow T_c$  в зависимости от безразмерной величины  $2\Delta_0/T_c$ .

В заключение выразим наклон второго критического поля через изотропную часть удельного сопротивления  $\rho$ , плотность состояний  $\bar{\rho}$  и параметр  $\zeta$

$$-H'_{cr}(T_c) = \frac{4\pi |e| c \bar{\rho} \rho \left[ 1 + \frac{\partial \zeta}{\partial (\ln T_c)} \psi' \left( \frac{1}{2} + \zeta \right) \right]}{\psi' (1/2 + \zeta)}. \quad (35)$$

Если  $\zeta \sim 1/T$ , тогда (35) есть убывающая функция  $\zeta$ ; при  $\zeta \gg 1$  имеем

$$-H'_{cr}(T_c) = 4\pi |e| c \bar{\rho} \rho / 12\zeta. \quad (36)$$

Если  $\zeta$  не зависит от температуры, тогда с увеличением  $\zeta$  температурный наклон критического поля возрастает, что соответствует уменьшению радиуса корреляции. В пределе  $\zeta \gg 1$  имеем линейную зависимость

$$-H'_{cr}(T_c) = 8\pi |e| c \bar{\rho} \rho \zeta \quad (37)$$

(см. рисунок), где при условии  $\zeta'(T)=0$  выявляется зависимость наклона критического поля от безразмерной величины  $2\Delta_0/T_c$ , взятой из (27).

#### Список литературы

- [1] Зайцев Р. О., Иванов В. А. // ФТТ. 1987. Т. 29. № 8. С. 2554—2557.
- [2] Зайцев Р. О., Иванов В. А., Михайлова Ю. В. // ФТТ. 1988. Т. 30. № 11. С. 3507—3510.
- [3] Зайцев Р. О., Иванов В. А. // ФТТ. 1987. Т. 29. № 10. С. 3111—3119.
- [4] Зайцев Р. О. // ФТТ. 1988. Т. 30. № 6. С. 1631—1640.
- [5] Абрикосов А. А., Горьков Л. П. // ЖЭТФ. 1960. Т. 39. № 12. С. 1781—1796.
- [6] Горьков Л. П., Мелик-Бархударов Т. К. // ЖЭТФ. 1968. Т. 40. № 5. С. 1452—1458.
- [7] Горьков Л. П., Элиашберг Г. М. // ЖЭТФ. 1961. Т. 54. № 2. С. 612—626.